



Fig. 1.- Bloque rodado en el fondo del Barranco de Guiniguada. Venas pegmatitoides atravesando una roca basanítica.



Fig. 2.- Playa de La Laja. Escarpe de coladas fonolíticas (F) de la formación fonolítica. Encima coladas basaníticas y tefríticas del ciclo Roque Nublo (C) cubiertas por los depósitos del miembro superior de la Formación detrítica de Las Palmas (T).



Fig. 3.- Pitón fonolítico de la formación fonolítica, con cierto derrame en la parte superior, cantera del Pintor, San Lorenzo.

Fig. 4.- La Lombarda, ladera S. del Barranco Real de Telde. Ignimbritas sin soldadura de tipo "ash and pumice".

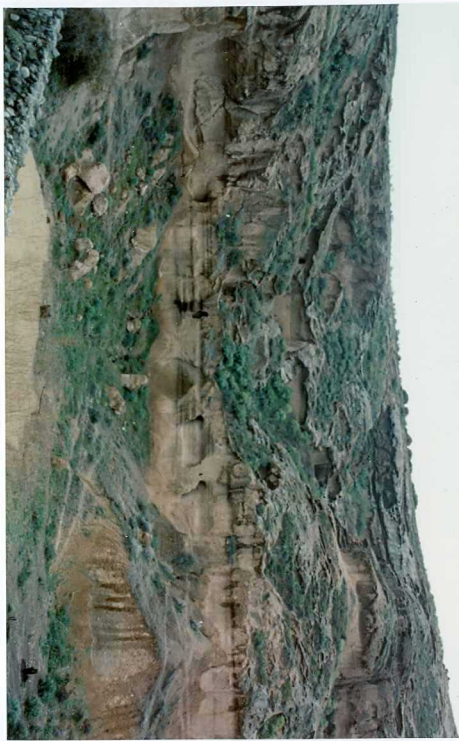




Fig. 5.- Ladera S. de Divisoria de Las Cuevas. Nivel de cantos fonolíticos rubefactados de la base del miembro medio de la F. detrítica de Las Palmas, con numerosas cavidades producidas por organismos litófagos.



Fig. 6.- Ladera N. del Lomo de Jinámar. Niveles marmóreos en la base del miembro superior de la F. detritica de Las Palmas.



Fig. 7.- Autopista del Sur, Km. 3,800, frente a la potabilizadora. Cantera en dunas fósiles del miembro medio de La F. detrítica de Las Palmas.



Fig. 8.- Barranco de La Augostura. Colada basanítica "intracanyon" del ciclo Roque Nublo.
El pueblo que se encuentra sobre ella es Sta. Brígida (B).



Fig. 9.- Barranco de La Augostura. Otro aspecto de la colada de la figura anterior, en un tramo más bajo del barranco. Al fondo el Pico de Bandama (PB).



Fig. 10.- Divisoria del Bermejal, al S. de Santa Brígida. Relieves de la brecha volcánica Roque Nublo.



Fig. 11.- Lomo de La Vizcaina, al N. de Santa Brígida. Escarpes de la brecha volcánica Roque Nublo.

Fig. 12.- Detalle de la brecha Roque Nublo: fragmentos fanolíticos.





Fig. 13.- Detalle de la brecha Roque Nublo en la ladera S. del Barranco de Gracia.



Fig. 14.- Brecha Roque Nublo en el Km. 12 de ctra. Jinámar-Telde.



Fig. 15.- Restos vegetales en brechas de tipo "block and ash", en la ctra. La Atalaya-Las Goteras. Pudiera tratarse de brecha Roque Nublo.



Fig. 16.- Barranco Mondeal o de los Hoyos. Dique básico (D) atravesando la brecha Roque Nublo.



Fig. 17.- Lomo de San Francisco de Paula. Coladas basanítico-nefeliníticas (C) del ciclo post-Roque Nublo inferior, sobre los depósitos del miembro superior de la F. detrítica de Las Palmas.



Fig. 18.- Acantilado de la playa del Malpaso. Apilamiento de coladas basanítico-nefeliníticas del ciclo post-Roque Nublo medio separadas por almagres.



Fig. 19.- Edificio Monte Lentiscal, con el cráter abierto hacia el N.



Fig. 20.- Edificio Montaña Pelada.



Fig. 21.- Barranco de La Angostura. Depósitos arcillosos de tipo lacustre.



Fig. 22.- Barranco Mondeal o de Los Hoyos. Depósitos limo-arcillosos de tipo lacustre (A). Encima la colada basanítica del Pico de Bandama.

da, Montaña Tafira.

Fig. 23.- Edificios Monte Lentiscal (ML) y Pico de Bandama (PB). Al fondo a la izquier-



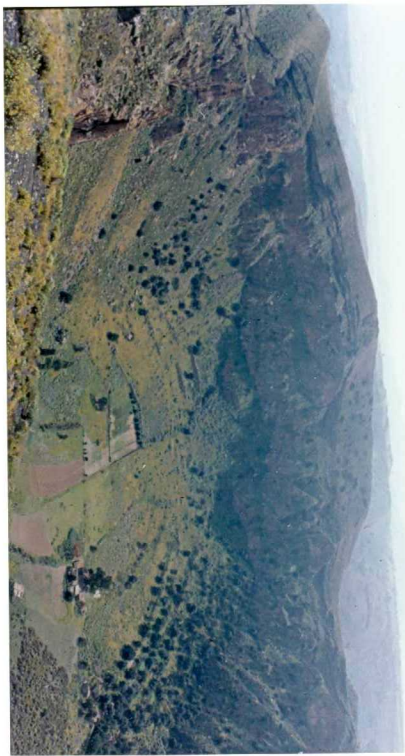


Fig. 24.- Ladera S. del Pico de Bandama. Depósitos de lapillis estratificados.



Fig. 25.- Zona de Bandama-Tafira. Piroclastos de dispersión procedentes del Pico de Bandama. Al fondo la Montaña de Tafira (MT).

Fig. 27.- Caldera de Bandama. Vista general del maar.





26.- Caldera de Bandama. Anillo externo de lapillis del evento estromboliano sobre los escarpes interiores del maar. A la izquierda el Pico de Bandama (PB).



Fig. 28.- Escarpes interiores del maar de Bandama. En la parte superior el anillo de piroclastos; en la inferior la brecha volcánica Roque Nublo. Potentes derrumbes cubren las partes bajas del escarpe.



Fig. 29.- Caldera de Bandama. Escarpe superior del maar con lapillis negros en la parte alta, cubriendo los depósitos de la brecha Roque Nublo.



Fig. 30.- Interior del maar de Bandama, ladera N. Depósitos piroclásticos de tipo - "surge" (S) sobre la brecha Roque Nublo (BR). Arriba piroclastos de caída del anillo externo (L).



Fig. 31.- Ladera N. del maar de Bandama, detalle de la figura anterior. Depósitos piroclásticos de tipo "surge".



Fig. 32.- Ladera N. del maar de Bandama. Estructuras de impacto en los niveles de "surges".



Fig. 33.-Ladera N. del maar de Bandama. Bandeado de lapillis y niveles de "surges" con concentración de olivinos y piroxenos.

Fig. 34.- Ladera N. del maar de Bandama. Detalle de la figura anterior.





Fig. 35.- Ladera N. del maar de Bandama. Alternancia de los niveles piroclásticos - de tipo "surge" (color claro) y los lapillis (color negro) del evento es-tromboliano.



Fig. 36.- Ladera O. del maar de Bandama. Escarpe vertical con los lapillis negros en su parte superior cubriendo a la brecha Roque Nublo (B). En la parte más baja, sedimentos y brechas fonolíticas (F).



Fig. 37.- Lomo del Seminario. Depósitos estratificados de niveles alternantes de "surges" distales y lapillis de dispersión procedentes del maar de Bandama.



Fig. 38.- Lomo del Seminario. Niveles interestratificados de "surge" distales y lapillis de dispersión procedentes del maar de Bandama.

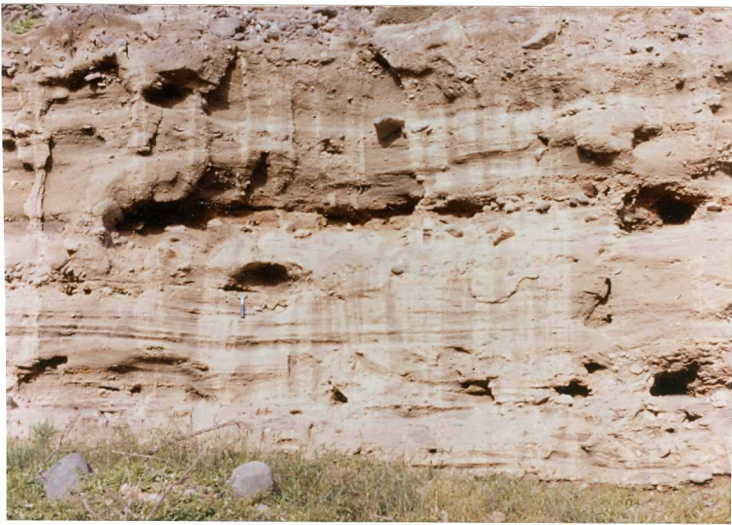


Fig. 39.- Fondo del Barranco de las Goteras. Depósitos retrabajados de los Lapillis de dispersión del maar de Bandama con cantos.

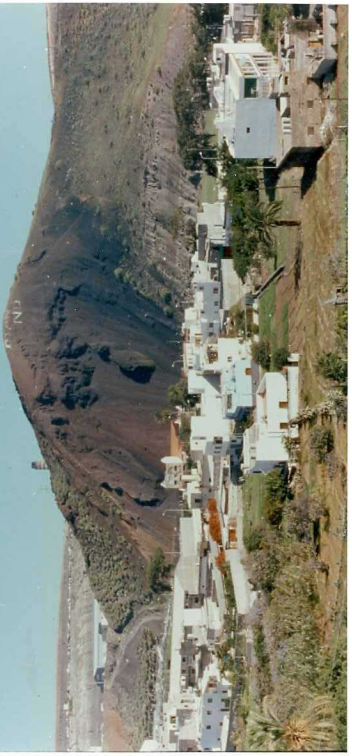


Fig. 40.- Edificio Montaña Jinámar.

Fig. 41.- Edificio 274 (Montaña Rajada) al Sur de Montaña Pelada.

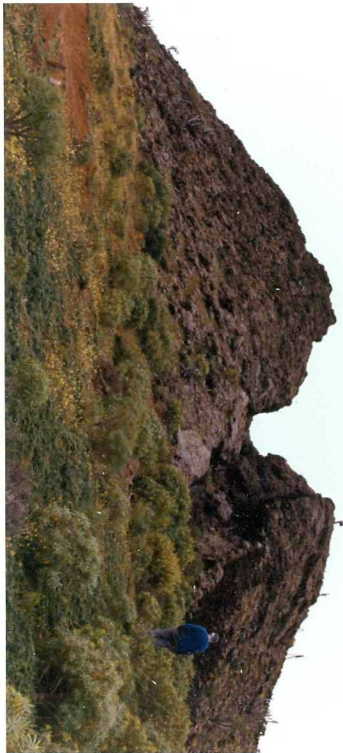




Fig. 42.- Zona de Jinámar. Edificio Cruz de Las Gallinas (CG) y, a la derecha, el Edificio Montaña Gallego (G).



Fig. 43.- Cantera de "picón" en el Edificio Montaña Gallegos.



Fig. 44.- Depósitos aluviales en el fondo del Barranco Real de Telde.